

**NOVUS**

**10/91**

# Elektronik

nr ind. 367141

miesięcznik elektroników

cena 6000 zł

## SPIS TREŚCI

Mini przetwornik Analogowo-Cyfrowy.....	2
Termometr elektroniczny.....	5
Specjalne efekty fotograficzne z wykorzystaniem stroboskopu.....	7
Timer CMOS 14541 w... korytarzu.....	7
Schematy, po które czasami warto sięgnąć cz. 6 (zastosowanie timera 555 cz. 1).....	9
Bardzo krótki opis COMMODORE C64 cz. 1.....	11
Podwójny wzmacniacz mocy A2000V(S1), A2005(S1) cz. 1.....	14
Mikrokontroler 8051.....	17
KATALOG cz. 13.....	19
Ogłoszenia.....	20

## Jak zamieścić ogłoszenie w "NE"

Aby zamieścić ogłoszenie w "NOWYM ELEKTRONIKU" należy przesłać treść ogłoszenia do redakcji na adres: P.W. "ARTCOM". Redakcja "Nowego Elektronika", skr. poczt. 100, 82-300 Elbląg. Po otrzymaniu treści ogłoszenia redakcja prześle rachunek do zleceniodawcy ogłoszenia.

## CENY

- 1 cm<sup>2</sup> ogłoszenia 5.000zł (najmniejsze ogłoszenie 18 cm<sup>2</sup>)
  - ogłoszenia drobne do 40 słów od 1.000zł prywatnych 1.000zł za słowo
  - ogłoszenia drobne powyżej 40 słów i ogłoszenia od firm 3.000zł za słowo
- Za treść ogłoszenia redakcja nie ponosi żadnej odpowiedzialności.

Adres Redakcji - P.W. "ARTCOM", Redakcja "NOWEGO ELEKTRONIKA", skr. poczt. 100, 82-300 Elbląg, tel. 284-44

Redaktor naczelny - J. Ryszard Świątkowski

Redakcja zastrzega sobie prawo skracania i korekty nadesłanych artykułów.

Wydawca - P.W. "ARTCOM"

Skład - P.W. "ARTCOM"

Druk - Grudziądzkie Zakłady Graficzne im. W. Kułerskiego w Grudziądzu, pl. Wolności 5

# Mini przetwornik Analogowo-Cyfrowy

Na pewno nieraz zetknęliśmy się z problemem doboru przetwornika analogowo-cyfrowego (A/C) do konkretnego systemu pomiarowego wspomaganego komputerem. Oczywiście dobór przetwornika zależy od wielu parametrów pomiarów jakie musimy wykonać, ale szczególnie od czasu przetwarzania (próbkowania) i rozdzielczości pomiaru. Istnieje dużo przetworników A/C na naszym rynku. Dla długich czasów próbkowania (ok. sekundy) najbardziej rozpowszechnione są przetworniki podwójnie całkujące INTERSIL'a: ICL 7109 - współpracujące z szyną danych i szyną adresową, opisany w NE 4/91. Układ ten ma jednak parę wad: jest stosunkowo drogi (cena ok. 25-35 tys. zł)

\* jest wolny max częstotliwość - kilkanaście Hertzów

\* często zdarza się, że dostępne na naszym rynku przetworniki serii ICL 7106, 07, 09 są nieliniowe w swoich wskazaniach (szczególnie w przedziale wskazań od 0800 do 1200).

Jeśli komputer oprócz pomiarów powinien sterować procesami np. za pomocą załączenia odpowiedniej sekwencji stykowników, nieodzowna będzie nam karta równoległych portów wejścia/wyjścia (PIO) oparta np. na układach 8255. Z reguły na karcie są dwa PIO i CTC. Każdy z układów dysponuje trzema portami we/wy: A, B, C i może pracować w jednym z trzech modów.

Jeśli do sterowania np. stycznikami potrzebne nam będą tylko 3 porty (24 wyjścia), to drugi PIO pozostaje niewykorzystany, ale my na takie marnotrawstwo nie pozwolimy. Przy założeniu, że wystarczy nam 16-to poziomowa rozdzielczość pomiaru napięcia (4-ro bitowy przetwornik A/C), możemy z powodzeniem zadowolić się szeroko znanym, choć być może nie w takim zastosowaniu, układem rodzimej produkcji: UL 1970. Popularny "punkt świetlny" na diodach luminescencyjnych. Jeśli przyjrzymy się schematowi blokowemu układu, to zauważymy wyraźne podobieństwo zasady działania do jednego z najszybszych obecnie przetworników A/C typu flash. Napięcie wejściowe porównywane jest w nich za pomocą szeregu komparatorów, w naszym przypadku tylko 16-tu, czyli możemy rozróżnić tylko (jak na przetwornik A/C) 16 poziomów napięcia mierzonego - mało, ale czasami wystarczy. Maksymalna częstotliwość sygnału mierzonego ograniczona jest głównie przez max. częstotliwości użytych komparatorów i wynosi kilkadziesiąt kHz.

Ze względu na koszt, problemem w skompletowaniu elementów może okazać się 16 transoptorów (dowolnego typu) lub/i 16 diód luminescencyjnych (dowolnego typu i koloru), reszta na pewno się znajdzie w podręcznych "skarbach" każdego radioamatora. Osobnym problemem jest 16 bitowy równoległy port we/wy do komunikacji z komputerem.

Zajmijmy się teraz samym układem pomiarowym.

UL 1970 jest układem sterującym tzw. punktem świetlnym. Jeżeli zamiast diód luminescencyjnych lub równoległe do nich, podłączymy transoptory i tak ograniczymy prąd fotoemiterów, aby był on mniejszy od dopuszczalnego (5mA) to otrzymamy 16-to stanowy woltomierz. Wystarczy teraz wtórną stronę transoptora - czyli fototranzystor: kolektor połączyć z napięciem +5V, wykorzystując np. układ 7805. Emiter podłączymy poprzez rezystor z masą komputera, a ewentualną bazę poprzez R=100kΩ z masą komputera. W ten sposób za jednym zamachem osiągnęliśmy dwa cele:

1. Izolację galwaniczną układu pomiarowego i komputera, skutecznie zapobiegającą uszkodzeniu komputera - napięcie przebicia zależy od rodzaju transoptora i wynosi od 0,9 do kilku kV,

2. Wykorzystaliśmy standardowe obciążenie jakim jest fotodioda.

Przypadkowe nieuważne połączenie napięcia pomiarowego pociągnie za sobą tylko ewentualną wymianę stosunkowo taniego UL 1970 i być może transoptorów.

Uruchomienie układu wykonamy w dwóch etapach:

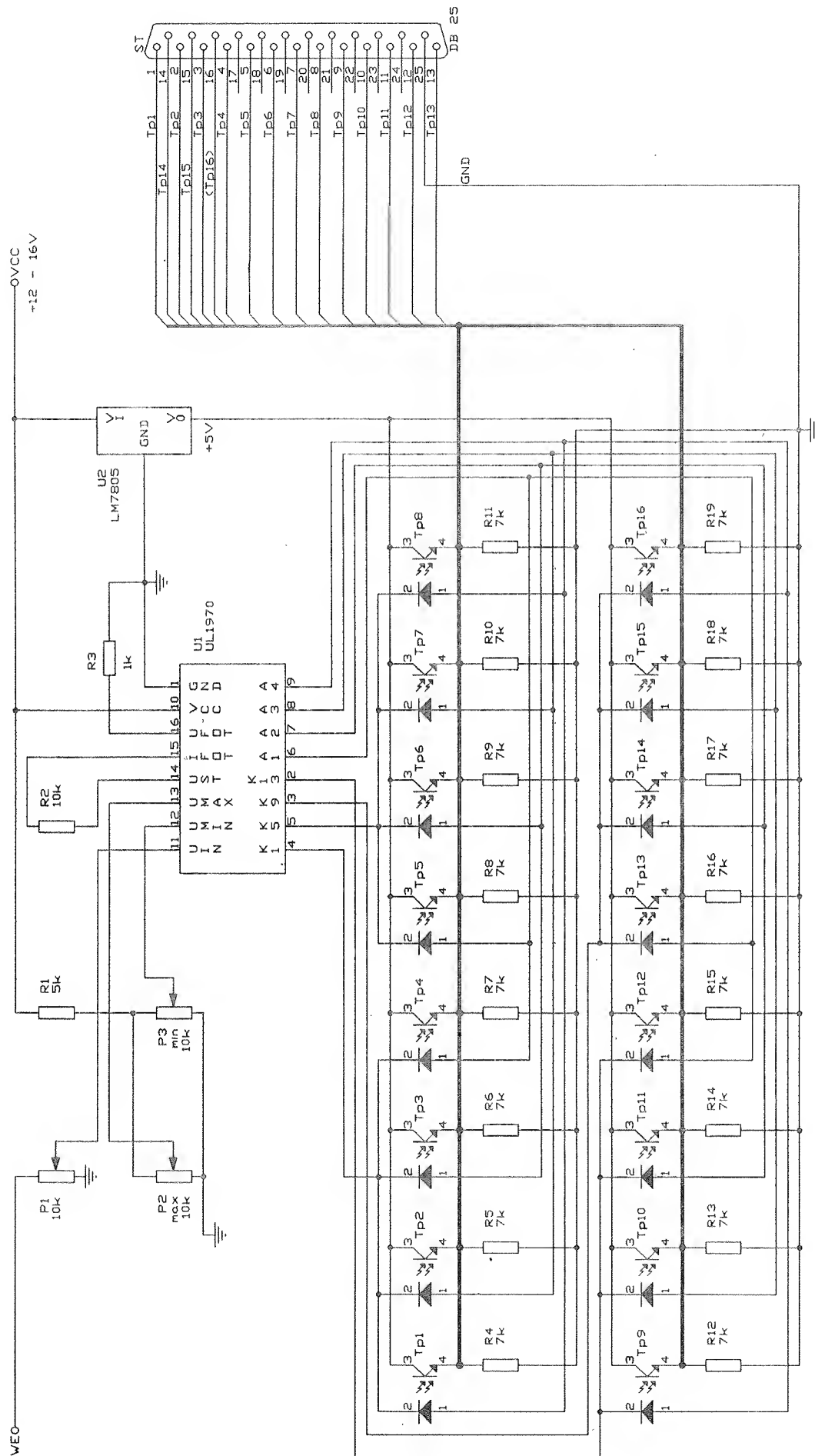
1. Skalowanie przetwornika A/C.

Regulacja sprowadza się do ustawienia min i max napięcia odniesienia potencjometrami P3 i P2. Aby diody zapalały się pojedynczo różnica napięć na suwakach P3 i P2 powinna być około 4.0V. Następnie należy ustawić potencjometrem P1 zakres pomiarowy (czułość). Jeżeli mierzymy napięcia niższe od 6V należy dodatkowo na wejście układu podłączyć wzmacniacz operacyjny np. prosty w obsłudze  $\mu A$  741, a w przypadku wymaganej dużej impedancji wejściowej, jeden z dostępnych wzmacniaczy zachodnich z wejściem na tranzystorach polowych np. CA, lub LM. Do wstępnego uruchomienia bardzo przydatne stają się diody luminescencyjne.

2. Transmisja danych do komputera.

3





Rys.1 Przetwornik A/C

# Termometr elektroniczny

W artykule przedstawiam prosty termometr (na trzech układach scalonych) służący jako zaokrętny lub wewnętrzny. Zaletą jego jest to, że za oknem umieszczamy tylko czujnik półprzewodnikowy, natomiast układ elektroniczny wraz z wyświetlaczem znajduje się w dowolnym punkcie mieszkania. Trymowanie układu jest dość łatwe, z użyciem woltomierza cyfrowego i termometru fotograficznego.

## 1. Opis schematu blokowego.

Informacja o temperaturze jest dostarczana przez czujnik U/T, którego napięcie liniowo zależy od temperatury (rys.1). Napięcie to jest wzmacniane i normalizowane we wzmacniaczu różnicowym. Napięcie wyjściowe  $U_{wy}$  steruje dwoma skalowymi zespołami komparatorów analogowych, z których każdy kluczuje blokiem 15 diód świecących (wyświetlaczem), załączając prąd w jednej diodzie lub w dwóch sąsiednich jeśli  $U_{wy}$  ma wartość pośrednią.

## 2. Opis szczegółowy działania.

Czujnik wykonany z dwóch odpowiednio połączonych tranzystorów krzemowych małej mocy jest włączony w jedną z gałęzi mostka (rys.2). Do zasilania mostka wykorzystano napięcie referencyjne zawarte wewnątrz układu scalonego US1-końc.14 (ok.5,6V). Napięcie nierównowagi zależy od: spadku napięcia na czujniku  $2U_{EB}$ , położenia suwaka rezystora zmiennego R2 oraz napięcia zasilającego mostek, steruje wzmacniaczem różnicowym US3 o regulowanym wzmacnieniu  $K_u=18-26V/V$ . Po wzmacnieniu i podzieleniu przez dwa jest normalizowane do wartości  $U_{wy}(-20^{\circ}C)=1,0V$  i  $U_{wy}(+40^{\circ}C)=4,0V$ . Napięcie  $U_{wy}$  steruje zespołami komparatorów: US1-11 i US2-11. Ich progi przerzutu wyznaczone są przez wartości rezystorów R16-R21, które współpracują z dzielnikami rezystorowymi zawartymi wewnątrz układów scalonych US1 i US2. Dzielnik R16-R21 jest zasilany napięciem referencyjnym układu US2-14.

Na rys.3 podano schemat połączeń diód świecących wyświetlaczy z układami scalonymi US1 i US2. Jeżeli napięcie  $U_{wy}$  wynosi od 1,0 do 2,4V to jest uaktywniony układ US1 zaświecając odpowiednią diodę pomiędzy D1(-20°C) a D15(+8°C). Jeśli  $U_{wy}$  jest mniejsze niż 1,0V świeci ciągle dioda D1. Przy  $U_{wy}=2,5-3,9V$  jest uaktywniony układ US2 zaświecając odpowiednią diodę pomiędzy D16(+10°C) a D30(+38°C). Jeśli

$U_{wy}$  byłoby większe od 3,9V będzie świecić ciągle dioda D30. Ponieważ zakres pomiaru wynosi 58°C każda dioda świecąca sygnalizuje temperaturę parzystą. Jednak faktycznie wskaźnik zapewnia rozdzielczość 1°C, gdyż temperatury nieparzyste są sygnalizowane jednoczesnym zaświeceniem dwóch sąsiednich diód. Każda dioda D1-D30 może mieć dowolną barwę świecenia. Prąd płynący przez LED jest zależny od wartości rezystora R22 dla wyświetlacza dolnego i R24 dla górnego. Nie mogą one być mniejsze niż 3,3kΩ: plynie wtedy maksymalny prąd dopuszczalny w układzie scalonym UL 1970N. Diody D31/32 i D33/34 zastępują nie używane w tym zastosowaniu LED występujące w ogólnym schemacie aplikacji UL 1970N.

## 3. Sposób regulacji.

Wymagane przyrządy: woltomierz cyfrowy klasy 0,5, termometr fotograficzny, rozdzielczość 0,5°C.

\* Regulacja napięć odniesienia dla komparatorów: mierząc potencjał między rezystorami R19 i R20 obracamy rezystorem zmiennym R21 do uzyskania wartości 3,95V.

\* Regulacja nierównoważenia mostka i wzmacnienia: przygotowujemy dwa naczynia, jedno (A) wypełnione mieszaniną wody z lodem, a drugie (B) wodą o temperaturze pokojowej T kontrolowanej termometrem fotograficznym. Podłączamy do mostka czujnik półprzewodnikowy, zaś do wyjścia wzmacniacza (punkt  $U_{wy}$ ) woltomierz i następnie wykonujemy kilka razy, do osiągnięcia pożądanego efektu poniższe czynności:

- wkładamy czujnik do naczynia A i przesuwając suwak R2 doprowadzamy poziom  $U_{wy}=2,00V$ .

- wkładamy czujnik do naczynia B i przesuwając suwak R12 (wzmocnienie) doprowadzamy do  $U_{wy}=2+0,05T(V)$ .

Regulację można uznać za zakończoną, jeśli napięcie wyjściowe  $U_{wy}$  w obu temperaturach nie różni się od podanych wartości o więcej niż 0,015V.

## 4. Rozszerzenie funkcji urządzenia.

\* Pomiar temperatury w różnych miejscach: należy wykonać drugi czujnik  $U'(T)$  i połączyć go poprzez przełącznik W do mostka, jak na rys.4. Regulacja jest prosta; po włożeniu czujnika  $U'(T)$  do mieszaniny wody z lodem ustawiamy suwak R2' w położeniu, kiedy  $U_{wy}=2,00V$ . Liczba

czujników nie jest ograniczona, zatem możliwe jest wykorzystanie urządzenia np. w gospodarstwie hodowlanym do pomiaru temperatury w oborze, kurniku itp.

\* Przystosowanie do sygnalizacji progowej: z końcówki 6 układu scalonego US3 można wziąć sygnał do sterowania dowolnego komparatora analogowego. Na tej końcówce panuje napięcie zależne od temperatury;  $U(-20^{\circ}C)=2,0V$  z nachyleniem 0,1V/°C. Na rys.5 podano schemat komparatora z histerezą, na bazie najbardziej dostępnego ULY7741N. Napięcie progowe jest zadawane potencjometrem R103 dla pełnego zakresu temperatur. Histereza wynosi około 1,5°C. Dioda D101 zaświeca się po przekroczeniu zadanej temperatury, zaś D102 po obniżeniu temperatury poniżej zadanej (wybór-zworką Z).

\* Automatyczna regulacja jasności: dla usprawnienia można uzależnić jasność świecenia wyświetlacza od oświetlenia zewnętrznego, wg rys.6. Podkówką R29 ustawia się świecenie LED w ciemności. Rezystorów R22 i R24 wtedy nie montuje się.

## 5. Informacje wykonawcze.

\* O czujniku temperatury: po złożeniu tranzystorów płasko obok siebie i złutowaniu końcówek należy dolutować kabel o odpowiedniej długości. Objaśnienie konstrukcji jest na rys.7. Jeżeli wykonujemy większą ilość czujników, tranzystory składowe należy wybrać z jednej serii produkcyjnej. Gdy całkowita rezystancja kabla przekracza 2Ω, konieczna jest jej kompensacja; po włożeniu czujnika do wody z lodem reguluje się  $U_{wy}=2,00V$  za pomocą R2 zakładając, że regulację zasadniczą (wg. punktu 3) już wykonano.

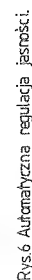
\* O zasilaczu: zasilanie całości powinno być stabilizowane,  $U_{CC}=11-15V$  najlepiej +12V, o wydajności prądowej 100mA. Dla schematu z rozszerzeniami (rys.2+rys.5+rys.6) należy przewidzieć zasilacz 12V/150mA.

\* O automatycznym świeceniu LED: montując fototranzystor zamiast fotorezystora należy pamiętać, że kolektor jest połączony galwanicznie z obudową fotoelementu.

\* Dobór elementów: wszystkie rezystory mogą być 0,125W/5% z wyjątkiem tych, które są opisane inaczej na schematach ideowych. Jako rezystory zmienne R2, R12 i R21 należy montować precyzyjne wieloobrotowe, np. typu CT32 firmy TEL-POD.

Wiesław Tumm

Literatura:  
Katalog analogowych układów scalonych firmy UNITRA-CEMI.



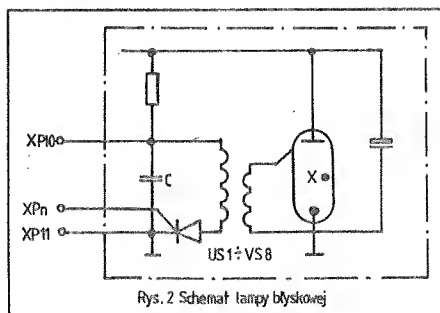
Rys.6 Autmatyczna regulacja jasności.

# Specjalne efekty fotograficzne z wykorzystaniem stroboskopu

Podczas fotografowania często powstaje konieczność oświetlenia fotografowanego obiektu przez równe, regularne odcinki czasu, co pozwala utrwalić w jednym kadrze różne fazy ruchu. Niżej przedstawiony jest jeden z wariantów rozwiązania tego problemu - urządzenie stroboskopowe.

Schemat układu przedstawiony jest na rys.1 Układ włączania ośmiu impulsowych lamp składa się z: komutatora, generatora, przerzutnika i źródła zasilania. Zasada działania jest następująca: prostokątne impulsy z generatora podawane są na licznik US1 komutatora, stan licznika jest deszyfrowany i dodatnie impulsy, pojawiające się kolejno na wyjściach układu US1, otwierają klucze na tranzystorach T1-T8 i tyrystorach VS1-VS8. Przez otwarte tyrystory zamyka się obwód zapalania kolejnych lamp impulsowych.

Stan licznika może być zmieniony tylko przy niskim potencjale na wejściu R. W wyjściowym położeniu na wejściu R jest wysoki potencjał i licznik nie pracuje. Po zawarciu styku synchronizatora XP9 następuje przełączenie przerzutnika RS i na wejściu R licznika pojawia się niski potencjał. Od tej chwili 8 pierwszych impulsów włącza kolejno 8 lamp impulsowych, a dziewiąty impuls jest różniczkowany

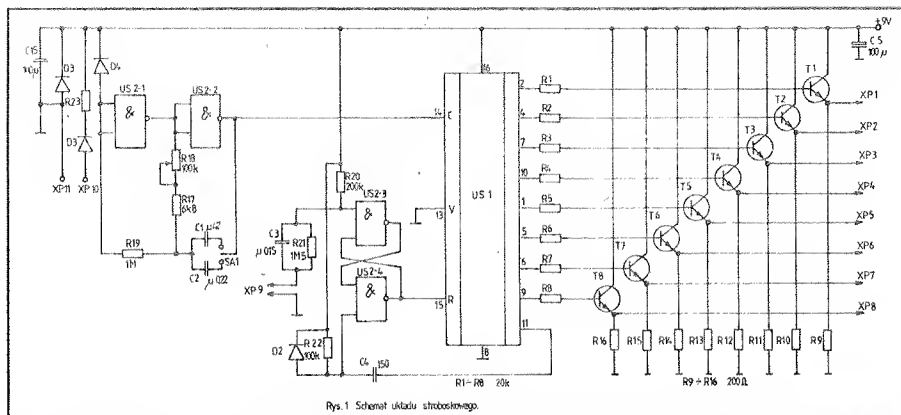


Rys. 2 Schemat lampy błyskowej

przez obwód C4, R22 i przełącza przerzutnik RS w stan początkowy.

Generator zrealizowany jest na elementach US2-1 i US2-2. Czas zadawany jest rezystorami R17 i R18 w parze z kondensatorem C1 lub C2. Przy pomocy przełącznika SA1 ustala się dwa zakresy pracy generatora, a nastawnym rezystorem R18 jest realizowana płynna regulacja częstotliwości generatora wewnątrz zakresu. Zmiana częstotliwości pozwala

pierwotnego włączony jest jeden z tyrystorów VS1-VS8. Przy zasilaniu układu sterowania od lampy błyskowej, konieczne jest podanie do jednej z lamp na styk XP10, napięcia z kondensatora C. Wartość rezystora R23 powinna być taka, żeby przez stabilizator D3 przepływał prąd 10mA. Układ sterowania podłącza się do aparatu fotograficznego przez wytyk



Rys. 1 Schemat układu stroboskopowego

na regulację czasu między włączeniem lamp. Przy podłączeniu kondensatora C2 i ustawieniu minimalnej wartości potencjometru R18 przerwa między błyskami wynosi 0,3ms, a przy maksymalnej wartości R18 - 5,2ms. Dla drugiego zakresu (włączony kondensator C1) przerwa ta wynosi odpowiednio 7ms i 110ms. Znając czas przerwy między błyskami, można określić czas, przy którym następuje synchronizacja między włączeniem lamp i zadziałaniem migawki aparatu fotograficznego. Dla przerwy 0,3ms synchronizacja jest możliwa przy czasie 1/400; 5,2ms-1/250; 7ms-1/16; 110ms-1/s.

Źródłem zasilania może być bateria lub akumulator 9V.

Układ sterowania wykonuje się w postaci oddzielnego bloku, do którego przez gniazda podłącza się do 8 lamp błyskowych. Na rys.2 przedstawiony jest fragment schematu jednej z ośmiu lamp impulsowych. W obwodzie uzwojenia

styku synchronizatora XP9. Prawidłowo zmontowany układ nie potrzebuje strojenia.

## Wykaz elementów:

Tranzystory: T1-T8 - KT315

Rezystory: 0,125W, R23 - 1W, R18 - dowolny potencjometr

Diody: D1, D2, D4 - KD521

D3 - D814T

US1 - (CD 4014)

US2 - (CD 4011)

mgr inż. Zbigniew Pędzik

Literatura:  
W. Ancew, A. Dobrosławski: "Fotoliubiciel-konstruktor". M: Iskustwo 1989

## Timer CMOS 14541 w... korytarzu

Cyfrowe układy logiczne serii TTL są wrażliwe na zmiany napięcia zasilającego. Poprawność pracy układu zapewniona jest dla napięcia zasilającego +5V ±0,25V dla serii UCY 64/74.... Korzystniej wyglądają pod tym względem cyfrowe układy CMOS, dla których wartość napięcia zasilającego można wybierać z reguły z przedziału +3-+15V i niekoniecznie musi być ono stabilizowane (należy jedynie zwrócić uwagę, że dla układów CMOS wraz ze wzrostem napięcia zasilającego ulega skróceniu-kilka razy-czas propaga-

cji bramki, jednocześnie jednak zwiększa się moc tracona na bramkę). Korzystając z tej właściwości układów CMOS można zasilac je napięciem stałym uzyskanym w pasywnym obwodzie napięcia przemienne ~ 220V. Bez stosowania transformatora sieciowego, który z reguły jest dużych rozmiarów, w opisanym niżej układzie uzyskujemy źródło napięcia stałego, które może służyć do zasilania układów CMOS lub innych o niskim poborze prądu. Schemat układu, w którym przemienne napięcie wykorzystywane jest

równocześnie do zasilania obwodu sterującego oraz wykonawczego przedstawia rys.1. Schemat zaczerpnięty został z Electronic Desing nr 15/89. Należy zwrócić uwagę, że napięcie przemienne na schemacie zaznaczono jako ~ 117V. Układ można jednak zastosować do napięcia ~ 220V po modyfikacji typu elementów.

Układ spełnia następującą funkcję: Po włączeniu zasilania żarówka zaczyna świecić pełną jasnością. Po czasie okre-

ślonym elementami R4, C2, R5 układ redukuje do około połowy moc pobieraną przez żarówkę, wskutek czego żarówka przegasa świecąc przyćmionym światłem. Maksymalne opóźnienie, po którym następuje przyćmienie żarówki może być rzędu 1 minuty - jak wynika z danych katalogowych układu MCY 74541N. Jednak stosując elementy R4, C2, R5 o odpowiednio dużych wartościach możliwe jest uzyskanie dłuższych czasów do kilkunastu, a nawet do kilkudziesięciu minut. Układ można z powodzeniem zastosować do redukcji zbędnego oświetlenia w korytarzach, na podwórzu lub w przejściach. Pełna moc świecenia zabezpieczać będzie moment przechodzenia, a przyćmione światło pozwoli zachować bezpieczeństwo na oświetlonym terenie. Takie rozwiązanie jest energooszczędne oraz znacznie przedłuża żywotność żarówki, której wymiana w niektórych miejscach może być uciążliwa.

## Zasada działania układu.

Po włączeniu zasilania wyjście 8 układu 14541 rys.1 jest w stanie niskim. Powodować ono będzie, że tranzystor T2 będzie zatkany. Dla jednej połówki napięcia przemiennego żarówka jest zasilana poprzez diodę D1. Dla drugiej połówki napięcia przemiennego zaczyna działać pasożytniczy obwód. Napięcie narasta w punkcie A - na anodzie tyrystora, który jest zatkany i w punkcie B na katodzie diody D3. Jednocześnie poprzez diodę D2 ładuje się kondensator C1. W momencie kiedy zadziała dioda Zenera D3, popłynie prąd w obwodzie D3, R2, co spowoduje wzrost napięcia na bramce tyrystora T1. Prąd wpływający do bramki tyrystora wyzwoli go i w efekcie popłynie prąd w obwodzie żarówka-tyrystor. W ten sposób żarówka jest zasilana w obydwu półokłach napięcia przemiennego i świeci prawie pełną mocą (straty mocy wynikają z opóźnienia na włączenie tyry-

stora). Właśnie w tym czasie, gdy tyrystor nie jest włączony - przy sprzyjającej fazie napięcia - poprzez diodę D2 płynie prąd doładowujący kondensator C1. Właśnie kondensator C1 stanowi źródło napięcia stałego, które zasila układ CMOS MCY 14541N. Dzięki małemu poborowi prądu i odporności na wahania napięcia zasilającego timer 14541 pracuje poprawnie i odmierza zadany czas. Po czasie określonym przez elementy R4, C2, R5 timer osiąga stan, w którym wyjście 8 ustawia się na "1". Napięcie będzie na tyle wysokie, że poprzez rezystor R3 podniesie potencjał na bazie T2. Spowoduje to, że podczas gdy dioda D3 zacznie przewodzić wówczas tranzystor T2 będzie zwierniał bramkę tyrystora T1 i rezystor R2 - praktycznie do poziomu katody - (napięcie na nasyconym tranzystorze  $U_{CE} \approx 0,1V$ ). Wskutek tego napięcie na bramce tyrystora T1 nie osiągnie wymaganej wartości do włączenia tyrystora. W tym stanie układ będzie zasilal żarówkę tylko w czasie 1 połówki napięcia przemiennego. W drugiej połówce prąd płynący przez żarówkę będzie ograniczony przez R1 co w efekcie da widoczny spadek mocy świecenia żarówki.

Dobór elementów dla zasilania napięciem ~ 220V.

1. Diodę D1 - 1N5402 (200V/3A) należy wymienić na diodę np. typu BYP401-400 (400V/1A) lub inną o wyższym napięciu.
  2. Tyrystor T1 - 2N6239 (200V/4A) należy wymienić na tyrystor o wyższym napięciu np. BTP 128-400 (400V/2A) lub BTP 10/500 (500V/10A).
  3. Rezystor R1 = 12kΩ należy wymienić na rezystor około 20kΩ o mocy większej niż 2W.
- Pozostałe elementy mogą pozostać bez zmian.

Odpowiedniki polskie:

D3 - 1N5236 (7,5V/20mA) dioda Zenera, można stosować diody typu: BZP650C8V2, BZP650C7V5, lub BZP620C8V2, BZP620C7V5.  
T2 - 2N4124 tranzystor n-p-n m.cz.  $U_{CE}=25V$ , można stosować tranzystory typu: BC107, BC147 itp.  
D2 - dioda prostownicza 1N4001 (50V/1A), można stosować diody typu: BYP401-50, BYP401-100, BYP401-200 itp.

Dobór czasu przełączania mocy świecenia żarówki dokonuje się elementami R4, C2, R5.

Zalecana częstotliwość pracy oscylatora RC w układzie MCY 14541 może być regulowana w przedziale 1kHz -  $f \leq 100kHz$ , daje to możliwość ustawienia przy  $f=1kHz$  maksymalnego czasu opóźnienia równego

$$\frac{1}{f} \times 2^{16} \approx 65[s].$$

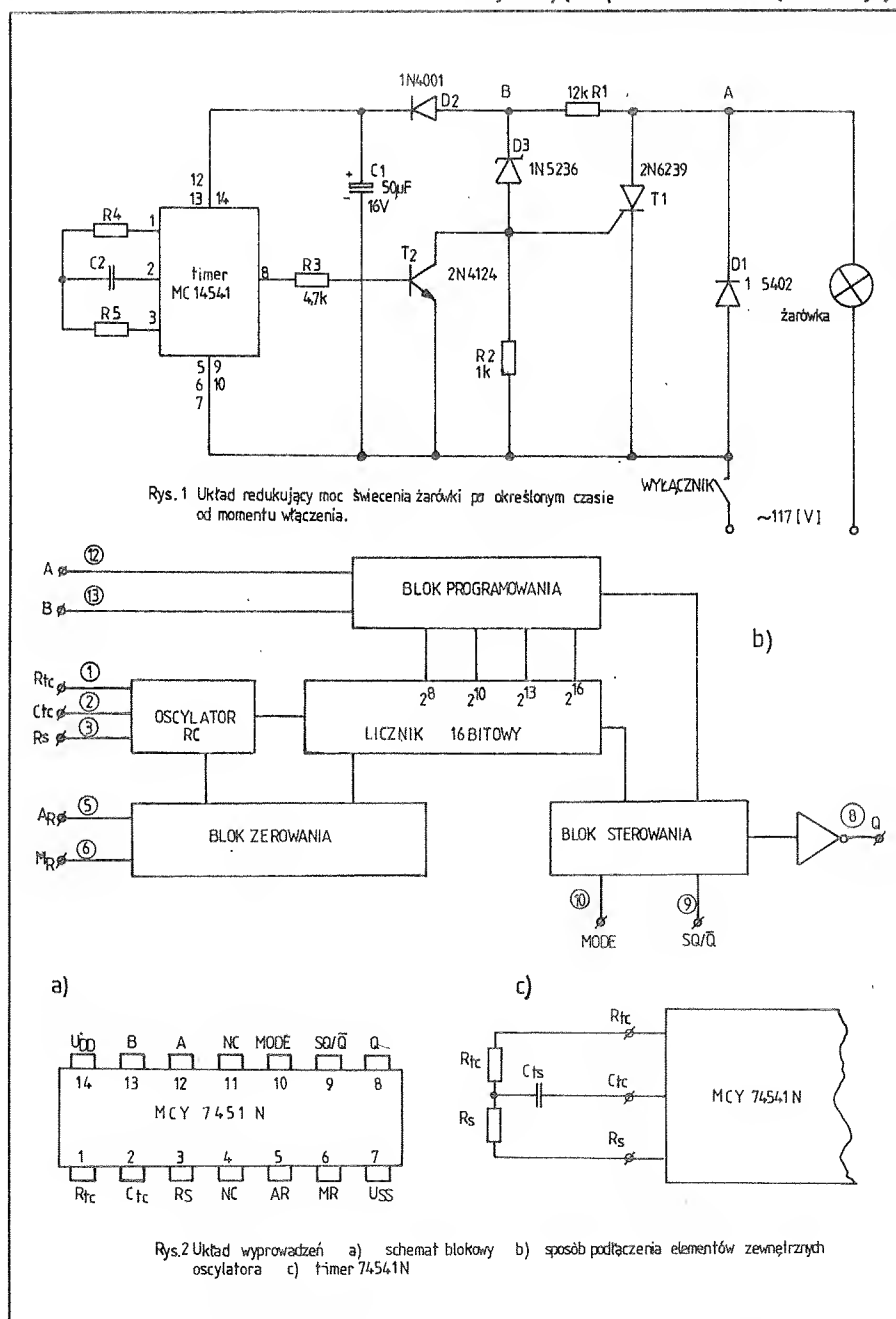




Tabela 1 Programowanie częstotliwości

Wejście		Ilość bitów licznika	Układ dzieli przez
A	B	n	2 <sup>n</sup>
0	0	licznik 13 bitowy	zerowanie co 2 <sup>13</sup> =8192 impulsy
0	1	licznik 10 bitowy	zerowanie co 2 <sup>10</sup> =1024 impulsy
1	0	licznik 8 bitowy	zerowanie co 2 <sup>8</sup> =256 impulsów
1	1	licznik 16 bitowy	zerowanie co 2 <sup>16</sup> =65536 impulsów

Praktycznie można pracować przy niższej częstotliwości oscylatora i uzyskać czas rzędu kilkunastu lub nawet kilkudziesięciu minut. W takim przypadku należy jednak doświadczalnie sprawdzić czy oscylator będzie pracował w ogóle.

Dla R4=10kΩ, R5=20kΩ i C2=220μF czas przełączenia wynosi około 30s. Szczegółowe dane jak dobierać czas przełączenia elementami układu podane są w danych katalogowych timera MCY 74541N, który jest odpowiednikiem układu CMOS MC 14541B firmy Motorola.

### Timer programowany MCY 74541N.

Timer programowany MCY 74541N wykonany jest na jednej płycie monokryształu w technologii CMOS (technologia komplementarna MOS). Przeznaczeniem układu jest praca w cyfrowych układach automatyki, telekomunikacji i miernictwa oraz tam gdzie wymagany jest niski pobór mocy i/lub wysoka odporność na zakłócenia. Układ wyprowadzeń oraz schemat blokowy MCY 74541 przedstawia rys. 2a, 2b.

### Cechy charakterystyczne układy MCY 74541N:

- \* zakres napięć zasilania 3-18V
- \* wszystkie wejścia i wyjścia buforowane
- \* wszystkie wejścia zabezpieczone przed przebiciem ładunkiem elektrostatycznym
- \* symetryczne charakterystyki wyjściowe w stanie niskim i wysokim
- \* typowy zakres częstotliwości oscylatora 0-0,5MHz
- \* typowa stabilność oscylatora: ±2% w zakresie dopuszczalnych temperatur pracy, przy zmianach napięcia zasilającego  $U_{DD} \pm 10\%$  oraz o 3% przy  $f < 10\text{kHz}$

- \* typowy zakres napięć zasilania przy pracy z automatycznym zerowaniem: 7,5-18V
- \* obniżony pobór mocy przy pracy bez automatycznego zerowania
- \* obudowa plastikowa, dwurzędowa typu CE-70 (14 wyprowadzeń)
- \* układ wyprowadzeń identyczny jak dla MC 14541B (firmy Motorola)
- \* typowa obciążalność - 1 wejście TTL-LS lub 2 wejścia TTL-L.

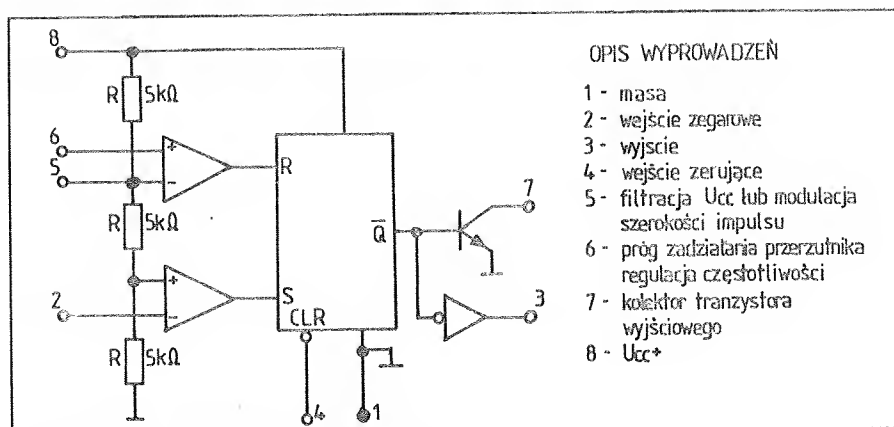
c.d. na str. 11

Tabela 2. Parametry dynamiczne ( $t_{amb}=25^\circ\text{C}$ ,  $t_r=t_f=20\text{ns}$ ,  $C_L=50\text{pF}$ ,  $R_L=200\text{k}\Omega$ )

Nazwa parametru	Symbol	Jed.	Wartość		Warunki Pomiaru $U_{DD}$ [V]
			typ	max	
Czas propagacji z wejścia $R_S$ do wyjścia Q przy podziale 2 <sup>n</sup>	$t_{PHL}$ $t_{PLH}$	μs	1.50 0.60 0.40	10.5 3.6 2.9	5 10 15
Czas narastania i czas opadania sygnału wyjściowego	$t_{TLH}$ $t_{THL}$	ns	100 50 40	200 100 80	5 10 15
Pojemność wejściowa	$C_i$	pF	5	7.5	-
Minimalna szerokość impulsu zegarowego $R_S$	$t_{wmin}$	ns	70 30 20	300 150 100	5 10 15
Minimalna szerokość impulsu zerowania $M_A$	$t_{wmin}$	ns	200 100 75	900 300 225	5 10 15
Częstotliwość maksymalna zegara $R_S$	$f_{max}$	MHz	1.5 4.0 6.0	- - -	5 10 15

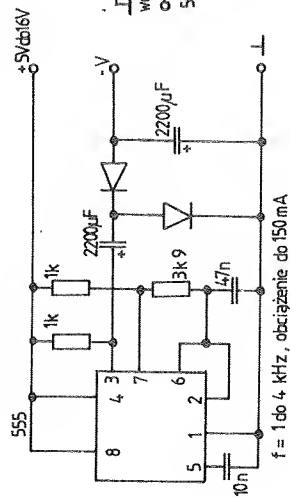
## Schematy, po które czasami warto sięgnąć cz. 6 (zastosowanie timera 555 cz. 1)

Timer 555 (odpowiednik polski ULY7855N) jest szeroko wykorzystywany w technice cyfrowej oraz w innych dziedzinach. Może pracować jako wyzwalany lub samobieny generator impulsów o regulowanym współczynniku wypełnienia i regulowanej częstotliwości powtarzania. Może być także wykorzystany w układach spełniających takie funkcje, jak dzielenie częstotliwości, dyskryminacja szerokości impulsów, modulacja szerokości impulsów, modulacja pozycji impulsów, przetwarzanie napięcia na częstotliwość i odwrotnie. Bardzo powszechne jest wykorzystanie tego timera do budowy układów alarmowych i sygnalizacyjnych, częstotliwościomierzy, czasomierzy, pojemnościomierzy,

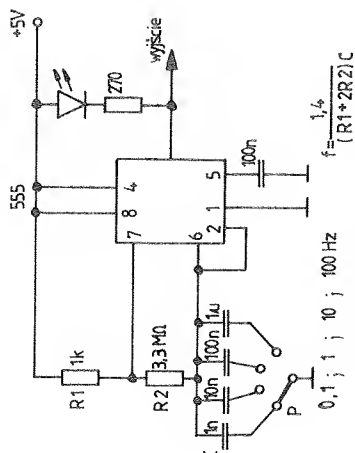


obrotomierzy. W technice cyfrowej znany jest jako uniwibrator i multiwibrator astabilny.

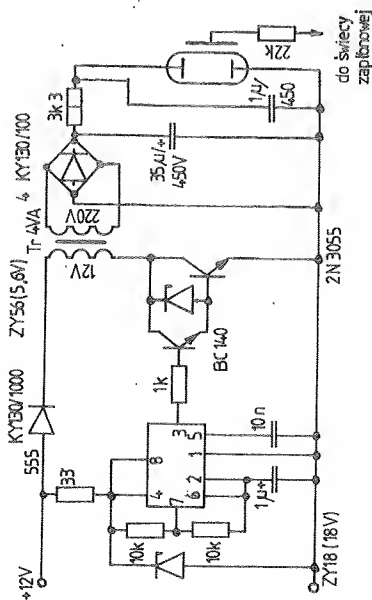
Witold Wrotek



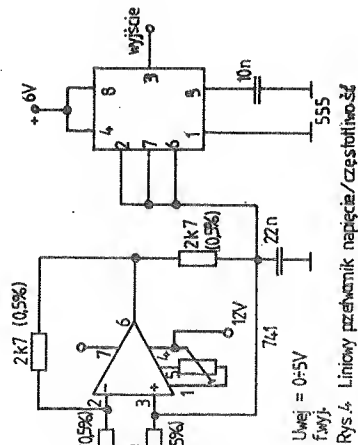
Rys. 1 Zasilacz napięcia ujemnego



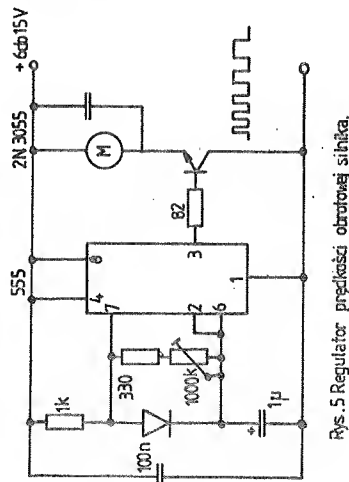
Rys. 2 Generator niskich częstotliwości



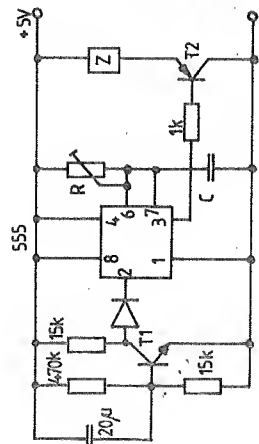
Rys. 3 Stroboskop samochodowy



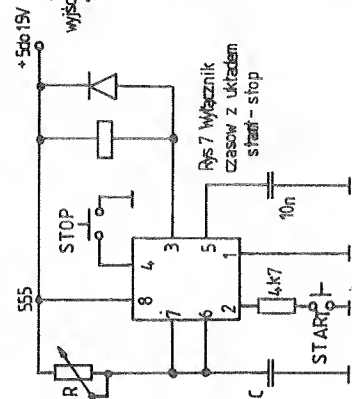
Rys. 4 Linowy przetwornik napięcia/częstotliwości



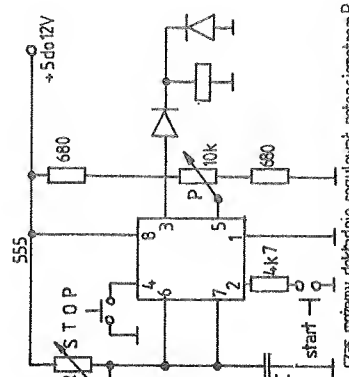
Rys. 5 Regulator prędkości obrotowej silnika



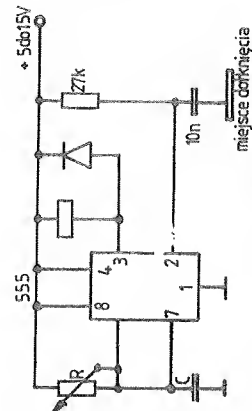
Rys. 6 Wyłącznik czasowy



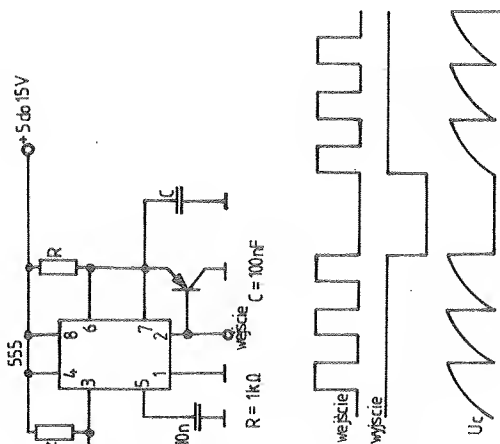
Rys. 7 Wyłącznik czasowy z układem start-stop



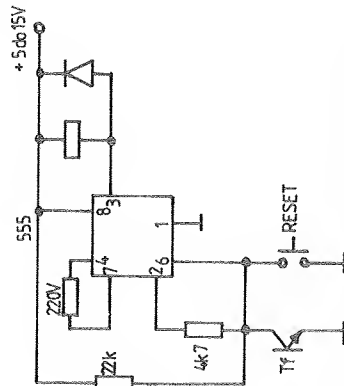
Rys. 8 Wyłącznik czasowy



Rys. 9 Wyłącznik czasowy wywołany dotykem



Rys. 10 Detektor opuszczanego impulsu



Rys. 11 Światła zwora

Jeżeli dopływ światła do fototranzystora zosztaje odcięty to zadziała przekaźnik. Jest to jego stan ustalony. Powrót do stanu „czuwania” realizujemy przyciskiem „Reset”.

Tabela 3. Parametry statyczne )tamb = 25[°C]

Nazwa Parametru	Symbol	Jed.	Wartość			Warunki pomiaru		
			min.	typ.	max.	U <sub>D</sub> [V]	U <sub>I</sub> [V]	U <sub>DD</sub> [V]
Spoczynkowy prąd zasilania (U <sub>AR</sub> =U <sub>DD</sub> )	I <sub>DD</sub>	μA	-	0.04	5	-	0; 5	5
			-	0.04	10	-	0;10	10
			-	0.04	20	-	0; 15	15
			-	0.06	100	-	0; 20	20
Prąd wyjściowy w stanie niskim	I <sub>OL</sub>	mA	0.51	1	-	0.4	0; 5	5
			1.3	2.6	-	0.5	0; 10	10
			3.4	6.8	-	1.5	0;15	15
Prąd wyjściowy w stanie wysokim	I <sub>OH</sub>	mA	-0.51	-1	-	4.6	0; 5	5
			-1.6	-3.2	-	2.5	0; 5	5
			-1.3	-2.6	-	9.5	0;10	10
			-3.4	-6.6	-	13.5	0; 15	15
Napięcie wyjściowe w stanie niskim	U <sub>OL</sub>	V	-	0	0.05	-	0; 5	5
			-	0	0.05	-	0; 10	10
			-	0	0.05	-	0; 15	15
Napięcie wyjściowe w stanie wysokim	U <sub>OH</sub>	V	4.95	5	-	-	0; 5	5
			9.95	10	-	-	0; 10	10
			14.95	15	-	-	0; 15	15
Napięcie zasilania przy automatycznym zerowaniu (U <sub>AR</sub> =0[V])	U <sub>DDAR</sub>	V	8.5	7.5	18	-	-	-
Spoczynkowy prąd zasilania przy U <sub>AR</sub> =0[V]	I <sub>DDAR</sub>	μA	-	7	200	-	-	5
			-	30	250	-	-	10
			-	80	500	-	-	15
Napięcie wejściowe w stanie niskim	U <sub>IL</sub>	V	-	-	1.5	0.5; 4.5	-	5
			-	-	3	1; 9	-	10
			-	-	4	1.5; 13.5	-	15
Napięcie wejściowe w stanie wysokim	U <sub>IH</sub>	V	3.5	-	-	0.5; 4.5	-	5
			7	-	-	1; 9	-	10
			11	-	-	1.5; 13.5	-	15
Prąd wejściowy	I <sub>I</sub>	μA	-	±10 <sup>-5</sup>	±0.1	-	0; 18	18

## Opis wyprowadzeń

1-R<sub>TC</sub>; 2-C<sub>TS</sub>; 3-R<sub>S</sub> - do tych pinów podłącza się zewnętrzne elementy oscylatora RC, sposób podłączenia pokazuje rys.2c.  
 4-NC (ang. not connected) - nie przyłączony do struktury wewnętrznej, pin nie wykorzystany.  
 5-A<sub>R</sub> (wejście)-A<sub>R</sub>=0 - układ automatycznie zeruje swój licznik po włączeniu zasilania, A<sub>R</sub>=1 zmniejszony pobór mocy.

MR=1 zerowanie.

7-U<sub>SS</sub> - masa.

8-Q - wyjście timera.

9-S<sub>Q/Q</sub> (wejście)-S<sub>Q/Q</sub>=0 tzn., że wyjście Q=0 po zerowaniu, S<sub>Q/Q</sub>=1 tzn., że wyjście Q=1 po zerowaniu.

10-Mode (wejście)-Mode=0 tzn. układ będzie pracował tylko pojedynczy cykl - jako timer, Mode=1 tzn. układ będzie pracował jako oscylator - cyklicznie.

11-NC.

12-A (wejście)-wejście programujące.

## Opis działania.

Timer programowany zbudowany jest z programowanego asynchronicznie dzielnika 16-bitowego o podziale przez 2<sup>8</sup>, 2<sup>10</sup>, 2<sup>13</sup> i 2<sup>16</sup> wybranym 2-bitowym wejściem danych (A i B). Dzielnik połączony jest ze scalonym oscylatorem RC o częstotliwości regulowanej elementami zewnętrznymi R<sub>TC</sub>, C<sub>TS</sub> i R<sub>S</sub> według zależności:

$$f = \frac{1}{2.3 \times R_{TC} \times C_{TS}}$$

gdzie: 1kHz ≤ f ≤ 100 kHz, R<sub>S</sub> = 2R<sub>TC</sub> i R<sub>S</sub> ≥ 10kΩ  
 Po pominięciu elementów zewnętrznych (wyprowadzenia R<sub>TC</sub> i C<sub>TS</sub> otwarte), wejście R<sub>S</sub> może być wykorzystane jako wejście zegarowe dzielnika częstotliwości 2<sup>n</sup>. Wejście zerowania MR umożliwia zewnętrzną wyzerowanie dzielnika i zatrzymanie pracy oscylatora w dowolnym momencie. Tryb pracy z automatycznym zerowaniem po włączeniu zasilania ustawiony jest przy połączeniu wejścia A<sub>R</sub> z U<sub>SS</sub>. Wejście S<sub>Q/Q</sub> umożliwia odwrócenie sygnału wyjściowego Q. Wejście Mode służy do przełączania trybu pracy: timer (jeden cykl); oscylator (praca cykliczna).

## Dopuszczalne parametry eksploatacyjne.

- \* napięcie zasilania-U<sub>DD</sub> - 0,5- +20V
- \* napięcie wejściowe U<sub>I</sub> - 0,5-U<sub>DD</sub> +0,5V
- \* prąd wejściowy I<sub>I</sub> - ±10mA
- \* zakres temperatur pracy tamb - 0- +70°C
- \* zakres temperatur przechowywania tamb - 55-+125°C
- \* temperatura lutowania: ręcznego (max.4s.) - 350°C; automatycznego - 270°C
- \* maksymalna moc strat PD - 500mW.

mgr inż. Aleksander Rode

Opracowano na podstawie:

[1] układ - *Elektronik Design* nr 15/1989

[2] dane katalogowe MCY14541N - karty katalogowej "Układy Logiczne CMOS Timer Programowany MCY14541N" Toruński Ośrodek Mikroelektroniki UNITRA-TOMI

# Bardzo krótki opis COMMODORE C64 cz.1

## BLOK ZASILANIA

- stabilizator VR1, VR2
- zasilanie +5V, +9V, 9V<sub>AC</sub> z zewnętrznego zasilacza
- 9V<sub>AC</sub> służy do sterowania zegarem czasu rzeczywistego zawartego w układach U1, U2

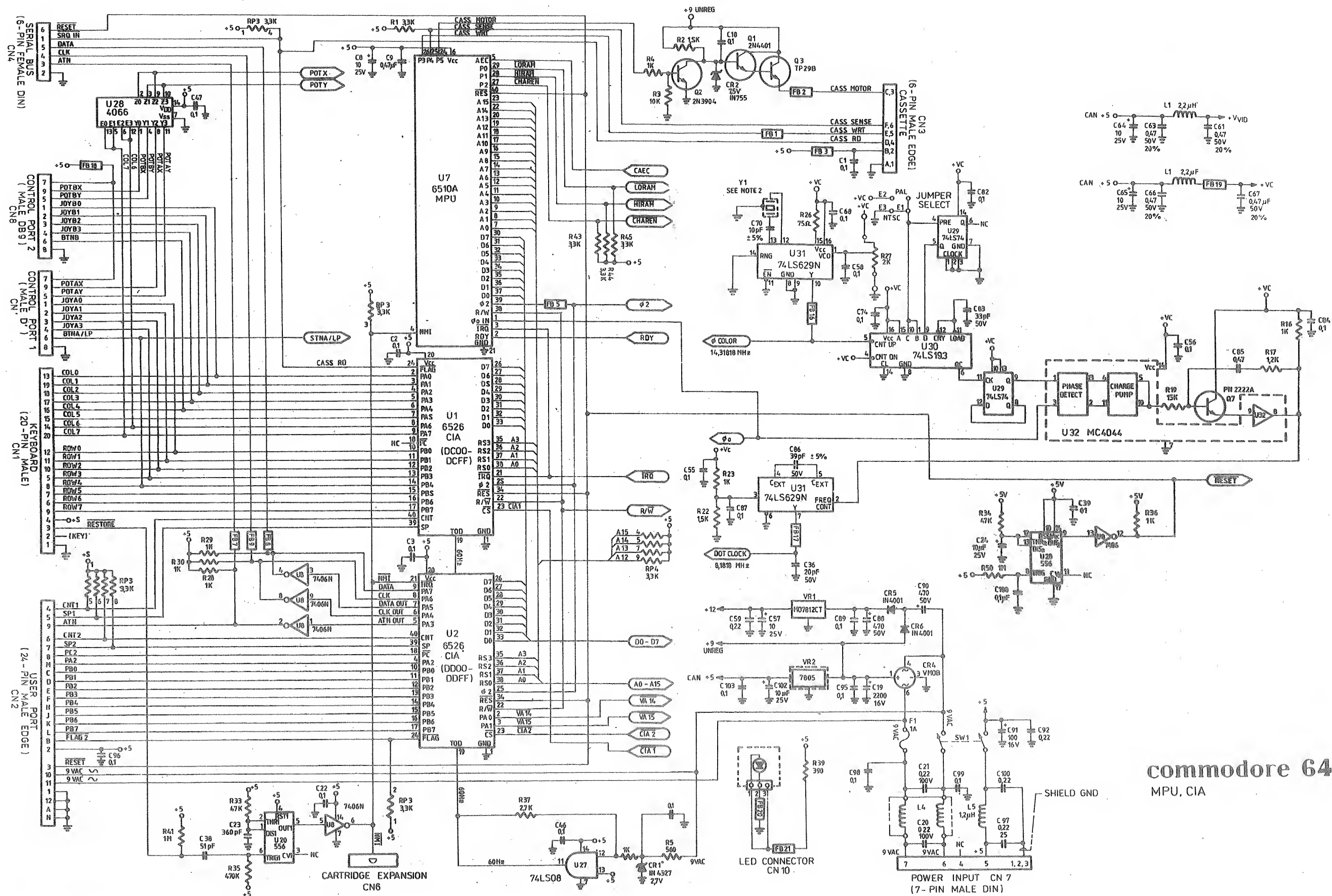
## JEDNOSTKA CENTRALNA 6510

- w starszych wersjach stosowano 6502, oba układy w pełni są kompatybilne programowo

## 6567 - PROCESOR WIZYJNY I MODULATOR w.cz.

- dodatkowo pełni funkcję odświeżania pamięci dynamicznych
- odpowiada za organizację ekranu

Waldemar Wiczorek





# Podwójny wzmacniacz mocy A2000V(S1), A2005(S1) cz. 1

1. Układ A2000V jest podwójnym scalonym wzmacniaczem mocy m.c.z. 2x5W, 4Ω przy napięciu roboczym 14,4V. Wykorzystywany jest najczęściej jako wzmacniacz mocy w radioodtwarzaczach stereofonicznych.

2. Układ A2005V osiąga przy napięciu roboczym 14,4V moc 2x10W, 2Ω. Wykorzystywany jest w stereofonicznych odbiornikach samochodowych.

3. Mogą być wykorzystywane jako specjalne układy pomiarowe w układach mostkowych.

4. Posiadają wyjścia AC i DC zabezpieczone od zwarcia.

5. Posiadają zabezpieczenie temperatury.

6. Posiadają zabezpieczenie głośników.

7. Zabezpieczenie od przepięć (>18V-28V).

8. Możliwość pracy w reżimie "Stand-by".

9. Mogą funkcjonować z układem Bootstrap lub bez niego.

10. Płytką drukowaną powinna być tak ukształtowana, że prowadzenie ścieżek  $U_{CC}$  i masy wykazują możliwie najmniejszą impedancję.

11. Źródło m.c.z. musi być galwanicznie oddzielone od wejścia.

12. Przewód masowy musi być tak prowadzony, żeby sterujący stopień końcowy nie wnosił żadnej modulacji prądu pomiedzy głośnikiem i siecią zasilającą.

13. Nastawnik głośności nie powinien być większy niż 47kΩ.

14. W tabeli przedstawione są parametry opisywanych układów:

15. Wzmocnienie:

- dla układu Stereo od 26 do 52dB

$$A_n = 1 + \frac{R_1}{R_2}$$

- dla układu mostkowego od 36 do 52 dB

$$A_n = 4 \frac{R_1}{R_2} \text{ przy } R_2 = R_4; R_3 = 2R_1$$

16. Odpowiedniki: LM2005, TDA2004; TDA2005, MDA2005

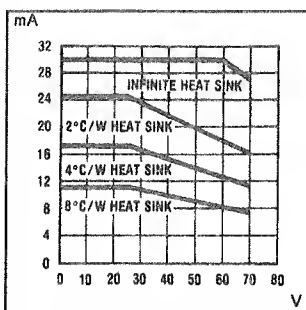
mgr inż. Zbigniew Pędzik

Literatura:

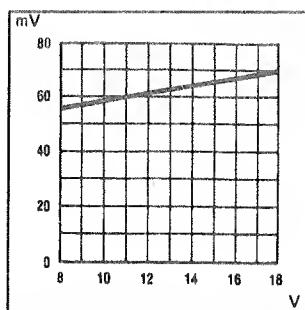
[1] FUNKAMATEUR 11/1989

[2] National Semiconductor - Special Purpose Linear Devices 1989

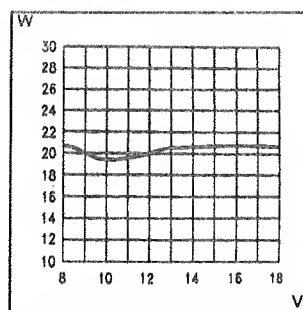
## CHARAKTERYSTYKI



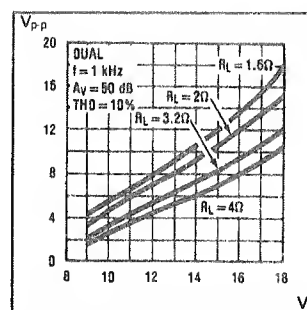
Prąd zasilania w funkcji napięcia zasilania.



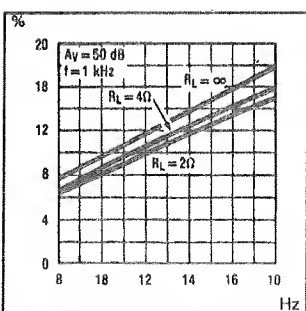
Wyściowe napięcie w funkcji napięcia zasilania.



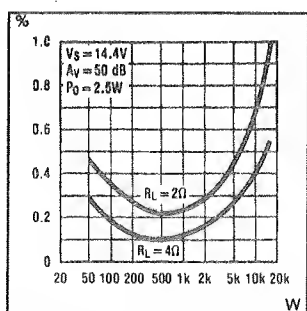
Moc wyjściowa w funkcji napięcia zasilania.



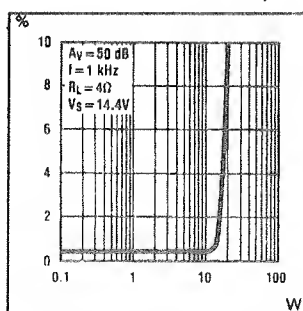
Wahania napięcia wyjściowego w funkcji zasilania.



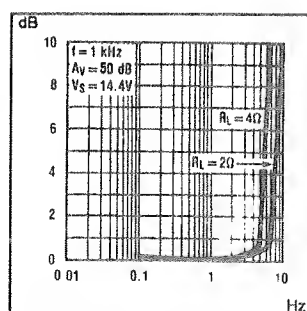
Max. zniekształcenia harmoniczne w funkcji częstotliwości (podwójny wzmacniacz).



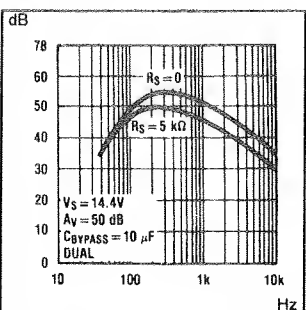
Max. zniekształcenia harmoniczne w funkcji mocy wyjściowej (układ mostkowy).



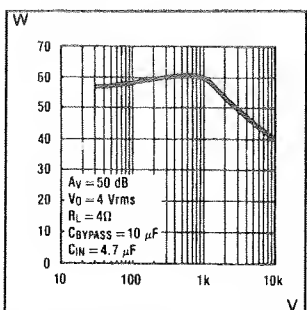
Max. zniekształcenia harmoniczne w funkcji mocy wyj. (podwójny wzmacniacz).



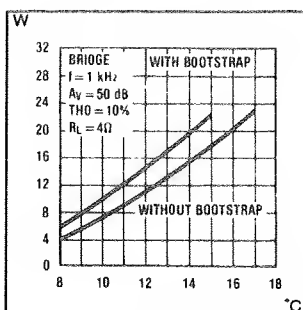
Tłumienie mocy zasilania w funkcji częstotliwości.



Separacja kanałów w funkcji częstotliwości.

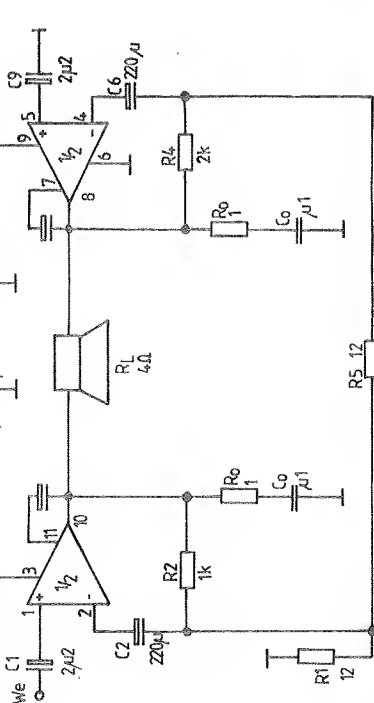
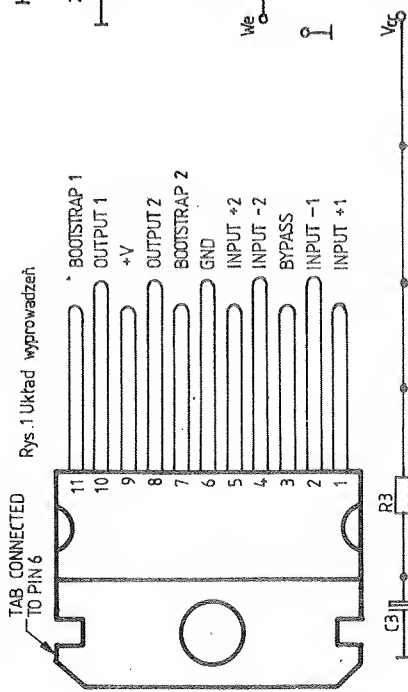


Moc wyjściowa w funkcji napięcia zasilania.

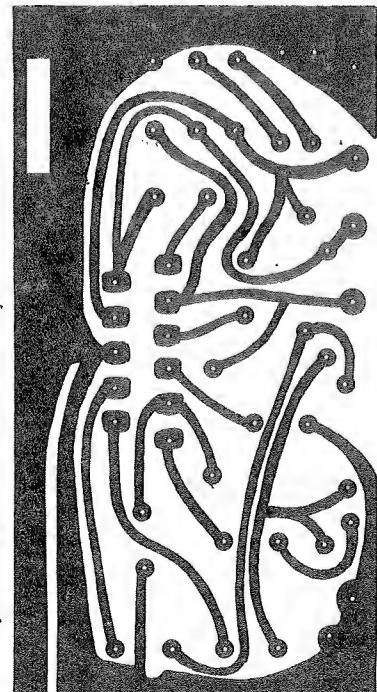


Rozproszenie mocy w funkcji temp. otoczenia.

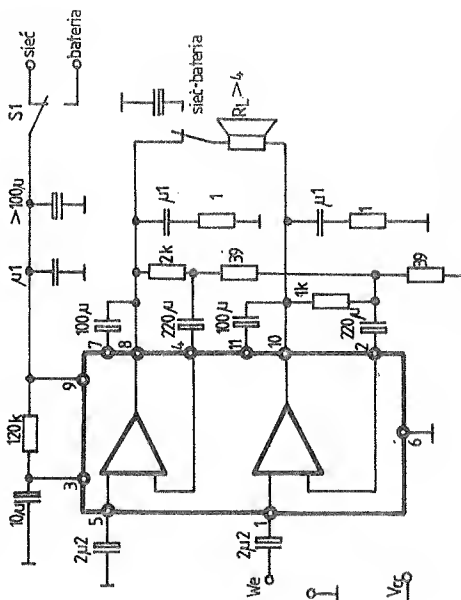
Rys.1 Układ wyprowadzeń



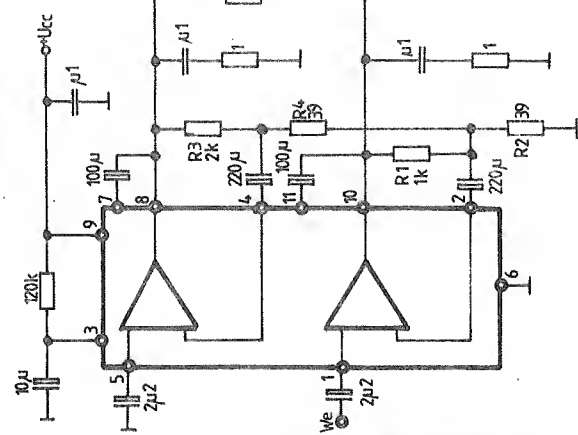
Rys.2 Wzmacniacz 20W w układzie mostkowym na LM 2005T-M



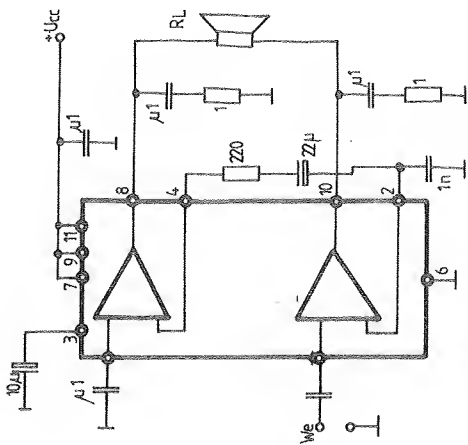
Rys.3 Płytką drukowana od strony elementów dla wzmacniacza z rys.2



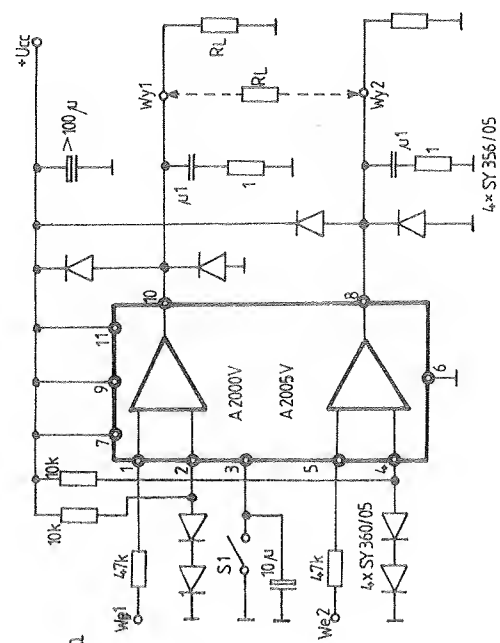
Rys.4 Wzmacniacz w układzie mostkowym mono z oszczędnościowym przełączeniem sieć-bateria



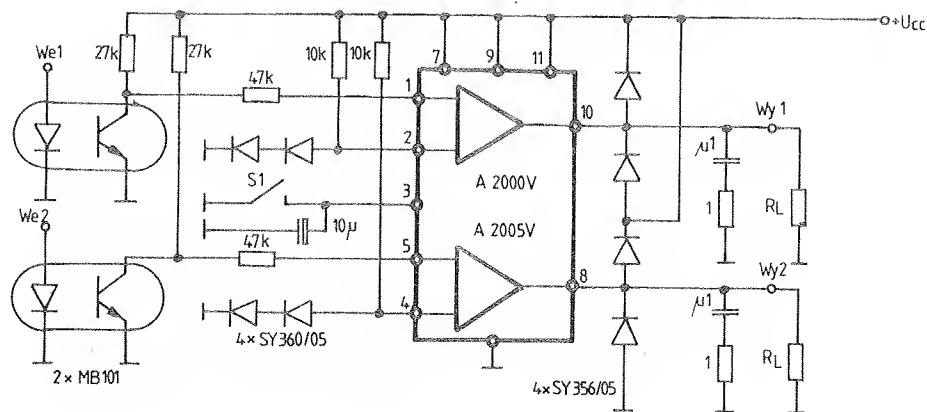
Rys.6 Wzmacniacz w układzie mostkowym mono z  $A_u=40\text{dB}$



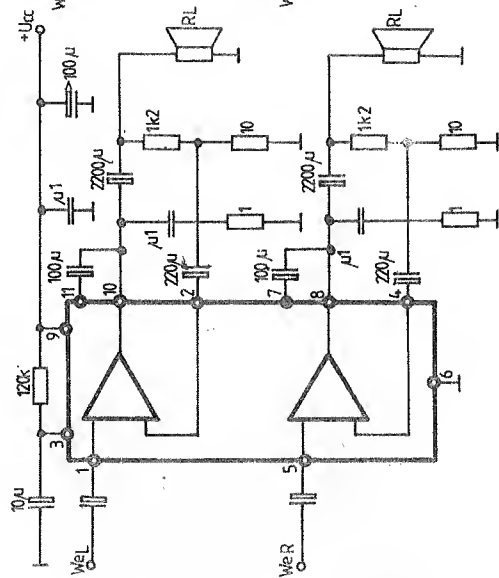
Rys.5 Układ mostkowy z małą ilością elementów



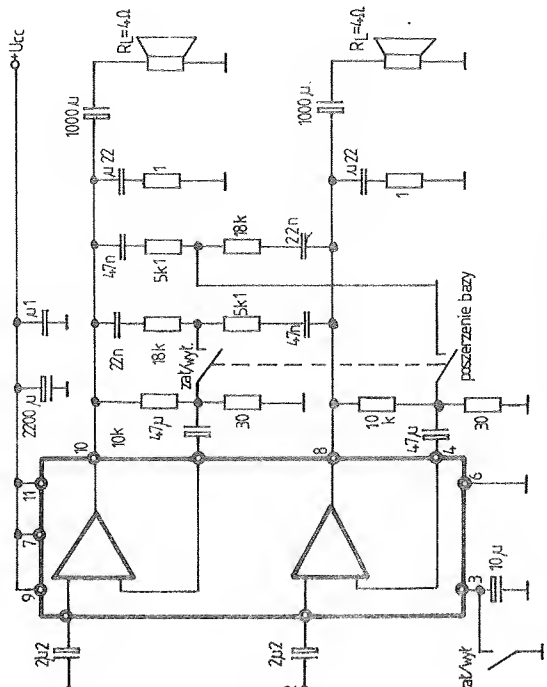
Rys.7 Układ podstawowy wzmacniacza



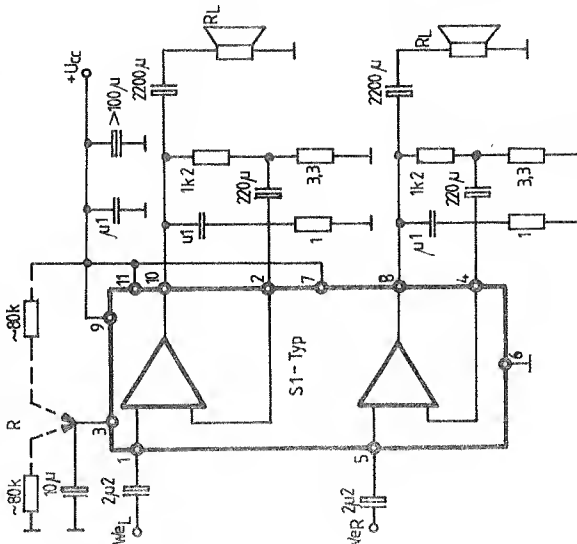
Rys. 14 Wzmacniacz z optoelektronicznym sprzężeniem.



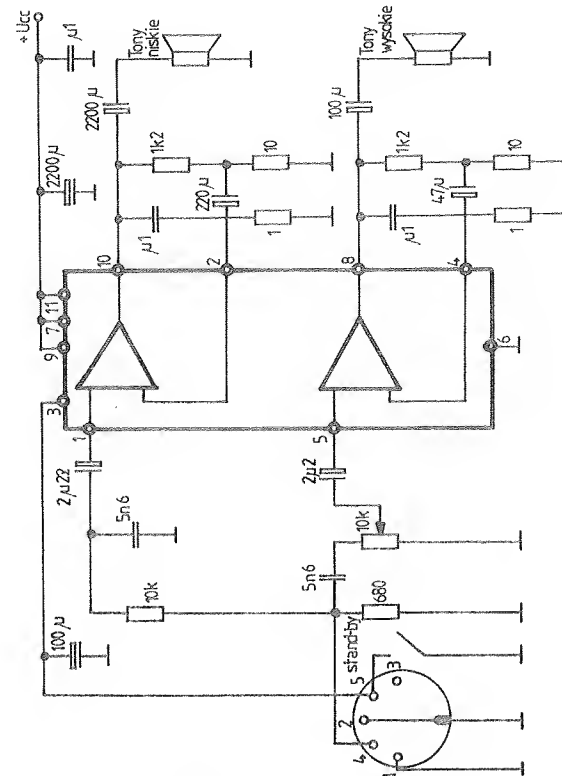
Rys. 8 Wzmacniacz stereo ( $A_u = 40\text{dB}$ ) z ograniczeniem prądu spoczynkowego.



Rys. 10 Wzmacniacz stereo z przełączeniem poszerzenia bazy - układ „super stereo”.



Rys. 9 Wzmacniacz z układem Bode-trap z rezystorami 80kΩ do korekcji połowy napięcia zasilania na wyj. wzmacn.



Rys. 11 Aktywna zwrtnia głośnikowa

# Mikrokontroler 8051

Układy należące do rodziny 8051 są jednokładowymi, 8-bitowymi mikrokontrolerami wykonanymi w zaawansowanej 2-μmętrowej technologii NMOS. Zasadniczo istnieją trzy typy:

- 8031 (pozbawiony pamięci ROM)
- 8051 (zawierający pamięć ROM programowaną na etapie masek, o pojemności 4K)
- 8751 (zawierający EPROM możliwy do organizacji przez użytkownika, o pojemności 4K)

Oprócz pamięci ROM/EPROM w chipie znajdują się niezależnie od wersji:

- pamięć RAM 128 x 8
- 32 linie wejścia/wyjścia
- dwa 16-bitowe timery/liczniki
- pięć źródeł przerwania o dwu poziomach priorytetów
- szeregowy port wejścia/wyjścia
- układ oscylatora

Zestaw instrukcji składa się z 255 poleceń (operacje arytmetyczne, operacje logiczne, przesyłanie danych, polecenia kontrolne).

Port 1 służy do odbierania/wysyłania informacji, a dodatkowo przy współpracy z pamięcią zewnętrzną wystawia niższy bajt adresu.

Port 2 pracuje podobnie jak port 1, przy czym służy do wystawiania starszego bajtu adresu dla pamięci zewnętrznej. Port 3 oprócz funkcji odbierania/wysyłania informacji realizuje funkcje alternatywne:

programu. Przestrzeń adresowa wewnętrznej pamięci danych jest podzielona na 128-bajtowy RAM i 128-bajtowy rejestr funkcyjny.

## TIMERY/LICZNIKI

Mikrokontroler zawiera dwa 16-bitowe rejestry: Timer 0 i Timer 1.

Mogą one być wykorzystane do:

- mierzenia przedziałów czasowych, czasu trwania impulsów
- liczenia zdarzeń
- generowania przerwań

Każdy Timer/Licznik może być zaprogramowany niezależnie od pozostałych do pracy w trzech modach:

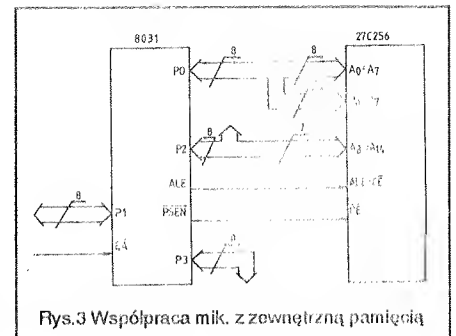
- Mod 0: 8-bitowy Timer/Licznik z 32-bitowym dzielnikiem
- Mod 1: 16-bitowy Timer/Licznik
- Mod 2: 8-bitowy Timer/Licznik z automatycznym przeładowaniem po zapelnieniu licznika
- Mod 3: jeden 8-bitowy Timer/Licznik i jeden 8-bitowy Timer

## SYSTEM PRZERWAŃ

Zdarzenia zewnętrzne i pracujące w czasie realnym urządzenia peryferyjne wymagają asynchronicznej obsługi przez CPU. W tym celu układy z rodziny 8051 posiadają system przerwania o dwupoziomym priorytecie. Czas reakcji na żądanie przerwania wynosi od 3 do 7 μs (przy użyciu oscylatora 12MHz). Prze-

## WSPÓŁPRACA Z ZEWNĘTRZNĄ PAMIĘCIĄ PROGRAMOWĄ

Do rozszerzenia możliwości mikrokontrolerów rodziny 8051 można wykorzystać specjalnie do tego celu dostosowaną pamięć EPROM 27C256 o pojemności 256Kbajty (32K x 8). Sposób przełączenia przedstawiono na rys.3.



Rys.3 Współpraca mik. z zewnętrzną pamięcią

## CHARAKTERYSTYCZNE PARAMETRY UKŁADÓW RODZINY 8051

Napięcie zewnętrzne na wszystkich nóżkach mierzone względem Vss od -0.5 do +7.0 [V]

Prąd wpływający/wypływający do ±10 [mA]

Całkowita moc strat do 1 [W]

Temperatura pracy:

MAB 8051AH-2 od 0 do +70°C

MAF 8051AH-2 od -40 do +85°C

MAF 80A51AH-2 od -40 do +110°C

Zakres częstotliwości pracy:

MAB 8031AH-2 3.5MHz-15MHz

MAB 8051AH-2 3.5MHz-12MHz

MAF 8031AH-2 3.5MHz-12MHz

MAF 8051AH-2 3.5MHz-12MHz

MAF 80A31AH-2 3.5MHz-12MHz

MAF 80A51AH-2 3.5MHz-12MHz

mgr inż. Witold Wrotek

Pin portu	Funkcja alternatywna
P 3.0	szeregowy port szeregowego odbioru danych (asynchronicznie) lub wejście/wyjście (synchroniczne)
P 3.1	szeregowy port wysyłania danych (asynchronicznie) lub wyjście zegarowe
P 3.2	przerwanie zewnętrzne "0" lub bramkowanie wejścia dla timera/licznika "0"
P 3.3	przerwanie zewnętrzne "1" lub bramkowanie wejścia dla timera/licznika "1"
P 3.4	zewnętrzne wejście do timera/licznika "0"
P 3.5	zewnętrzne wejście do timera/licznika "1"
P 3.6	impuls strobowy zapis do pamięci zewnętrznej
P 3.7	impuls strobowy odczyt z pamięci zewnętrznej

Zależności między sygnałami  $\overline{\text{PSEN}}$ ,  $\overline{\text{ALE}}$  i  $\overline{\text{EA}}$  obrazuje rysunek 2. CPU może pracować przy wykorzystaniu operandów z czterech przestrzeni adresowych. Składają się na nie: 64-Kbajty zewnętrznej pamięci programu, 256-bajtowa wewnętrzna pamięć danych i 16-bitowy licznik

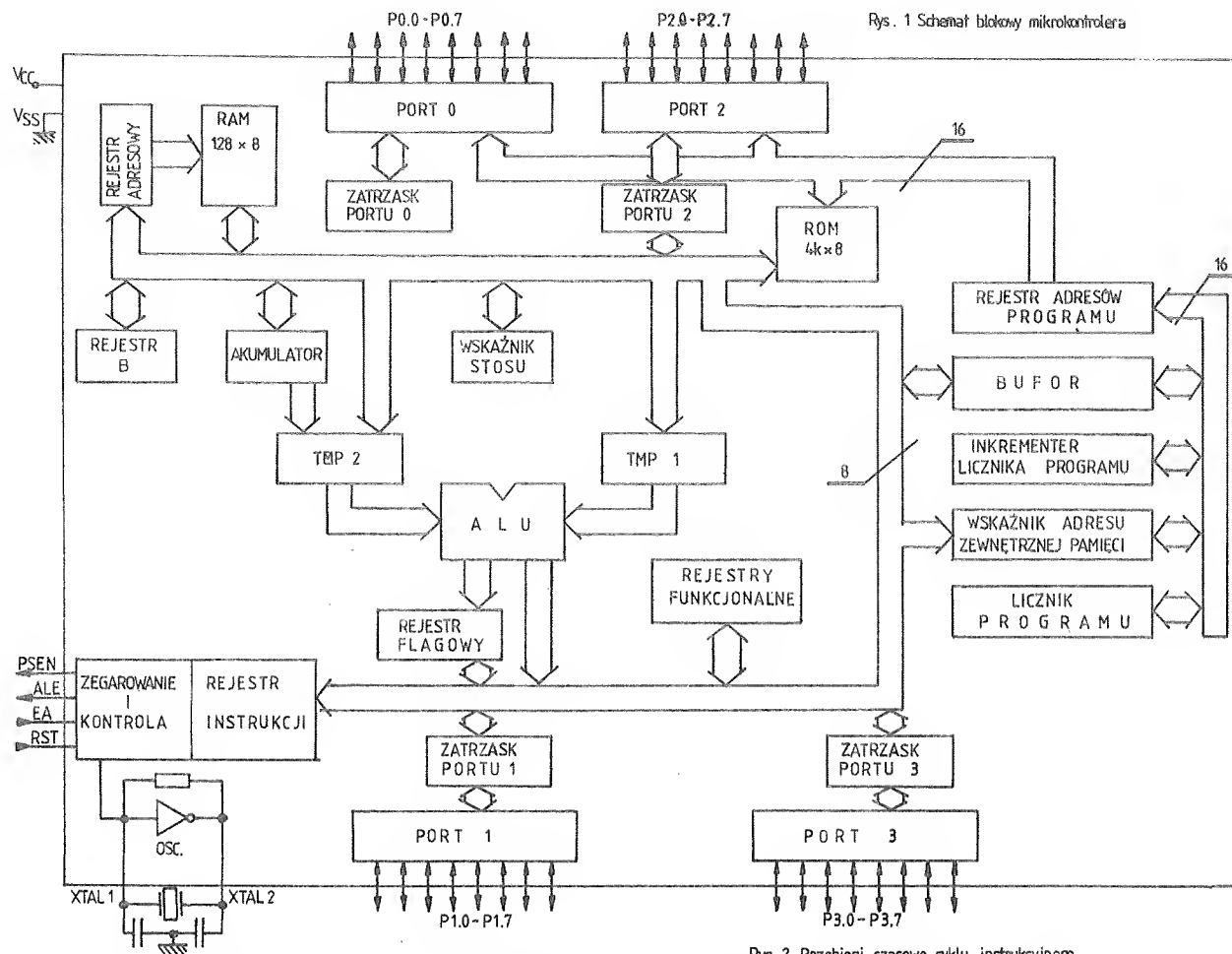
rwania mogą pochodzić od 5-ciu źródeł:

- INT 0 i INT 1; sygnał zewnętrzny
- Timer 0 i Timer 1; z dwóch wewnętrznych liczników
- Port Szeregowy; przez wewnętrzny szeregowy port wejścia/wyjścia

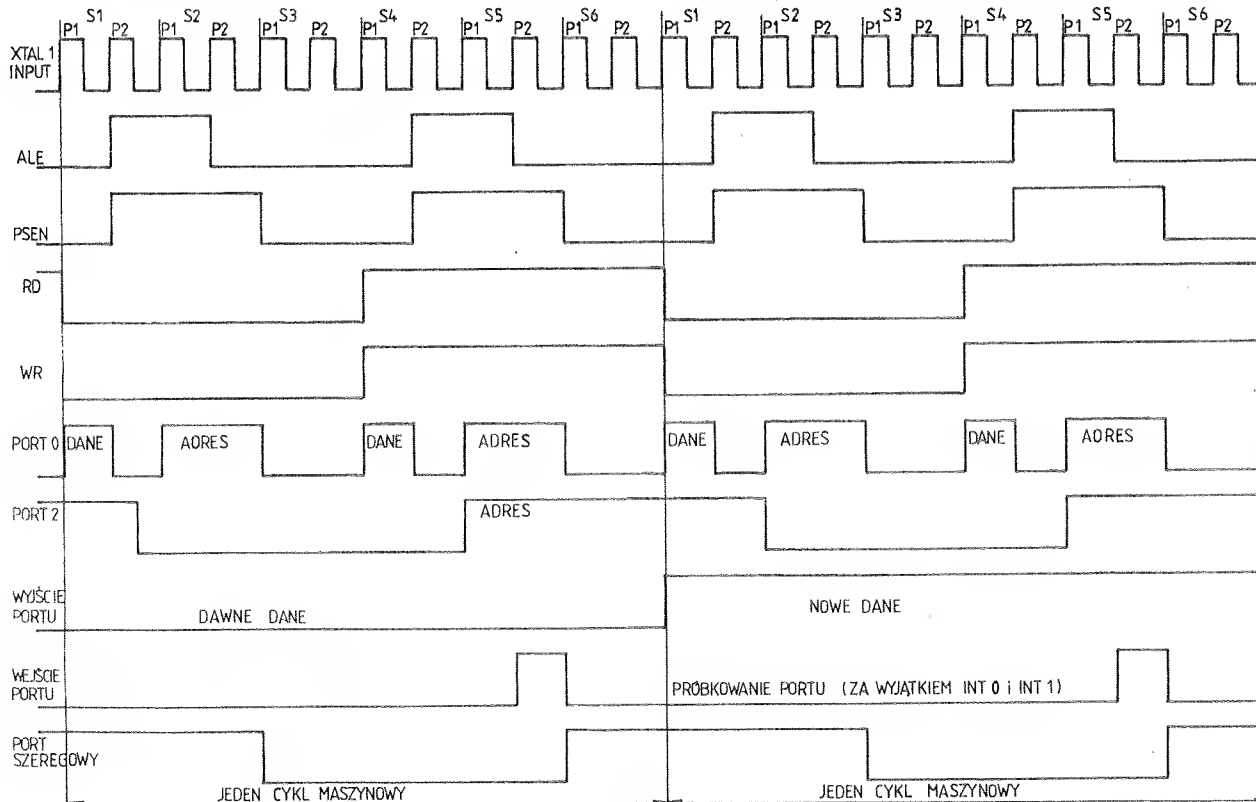
## ERRATA do "NE" nr 9/91

W artykule "Jak wykonać niezwykle efektowne zdjęcie rozpryskującej się kropli mleka" na str. 3 przez pomyłkę redakcji został zamieszczony rys.3. (Schemat ten jest niepotrzebny). W artykule "Mikrofon bezprzewodowy" na str. 9 rys. 1 wartość rezystora pomiędzy emiterem T 2N2222 i masą wynosi 11Ω. W artykule "Krótki przegląd rodziny TTL i COMS" na str.16 i 17 również przez pomyłkę zostały zamieszczone schematy dotyczące nie tego artykułu. Powyższy artykuł zostanie ponownie opublikowany (z właściwymi schematami) w jednym z najbliższych nr "NE". Zespół redakcji przeprasza Wszystkich Czytelników i Autorów artykułów.





Rys. 2 Przebiegi czasowe cyklu instrukcyjnego.



# KATALOG cz. 13

## Wykaz oznaczeń:

V<sub>CC</sub> - znamionowe napięcie zasilania

I<sub>I</sub> - prąd wejściowy

f<sub>max</sub> - maksymalna częstotliwość

t<sub>PLH</sub> - czas propagacji przy zmianie stanu logicznego z niskiego na wysoki

t<sub>PHL</sub> - czas propagacji przy zmianie stanu logicznego z wysokiego na niski

t<sub>PZL</sub> - czas propagacji przy zmianie stanu z wysokiej impedancji na stan niski

t<sub>PZH</sub> - czas propagacji przy zmianie stanu z wysokiej impedancji na stan wysoki

t<sub>PLZ</sub> - czas propagacji przy zmianie stanu niskiego na stan wysokiej impedancji

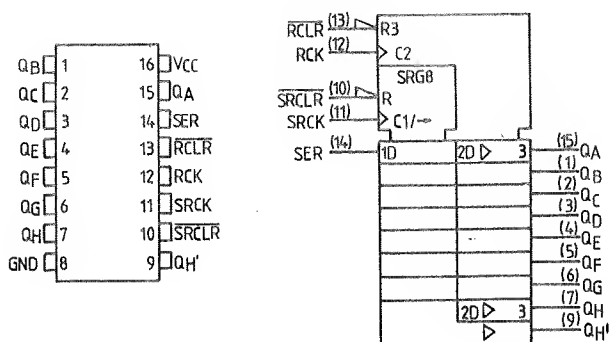
t<sub>PHZ</sub> - czas propagacji przy zmianie stanu wysokiego na stan wysokiej impedancji

L - stan niski "0"

H - stan wysoki "1"

X - stan dowolny "0" lub "1"

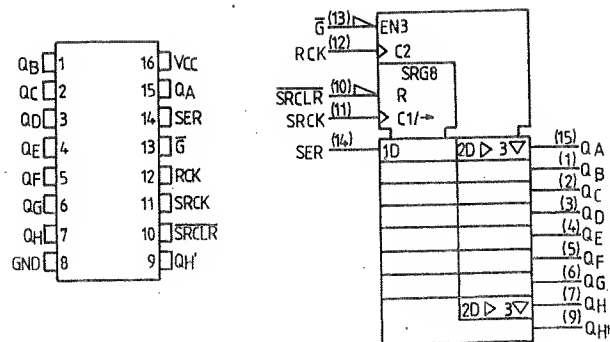
Z - stan wysokiej impedancji



### SN 74LS594

Ośmiobitowy rejestr przesuwający z wej. szeregowym i równoległymi wyjściami (zatrask)

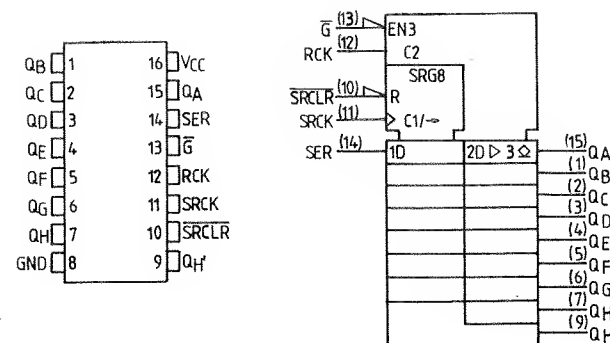
	WEJ.	WYJ.	LS594	JED.
V <sub>CC</sub>			5	V
I <sub>I</sub>			0.1	mA
t <sub>PLH</sub>	SRCK ↑	Q <sub>H</sub> '	12	ns
t <sub>PHL</sub>			15	ns
t <sub>PLH</sub>	RCK ↑	Q <sub>A</sub> -Q <sub>H</sub>	12	ns
t <sub>PHL</sub>			20	ns
t <sub>PHL</sub>	SRCLR ↓	Q <sub>H</sub> '	22	ns
t <sub>PHL</sub>	RCLR ↓	Q <sub>A</sub> -Q <sub>H</sub>	38	ns



### SN 74LS595

Ośmiobitowy rejestr przesuwający z wej. szeregowym i wyj. równoległymi wyjściami (zatrask)

	WEJ.	WYJ.	LS595	JED.
V <sub>CC</sub>			5	V
I <sub>I</sub>			0.1	mA
t <sub>PLH</sub>	SRCK ↑	Q <sub>H</sub> '	12	ns
t <sub>PHL</sub>			17	ns
t <sub>PLH</sub>	RCK ↑	Q <sub>A</sub> -Q <sub>H</sub>	12	ns
t <sub>PHL</sub>			24	ns
t <sub>PZH</sub>	$\bar{G}$ ↓	Q <sub>A</sub> -Q <sub>H</sub>	20	ns
t <sub>PZL</sub>	$\bar{G}$ ↑	Q <sub>A</sub> -Q <sub>H</sub>	25	ns
t <sub>PHZ</sub>	$\bar{G}$ ↑	Q <sub>A</sub> -Q <sub>H</sub>	20	ns
t <sub>PLZ</sub>			25	ns
t <sub>PHL</sub>	SRCLR ↑	Q <sub>H</sub> '	24	ns



### SN 74LS596

Ośmiobitowy rejestr przesuwający z wej. szeregowym i równoległymi wyjściami (zatrask)

	WEJ.	WYJ.	LS596	JED.
V <sub>CC</sub>			5	V
I <sub>I</sub>			0.1	mA
t <sub>PLH</sub>	SRCK ↑	Q <sub>H</sub> '	14	ns
t <sub>PHL</sub>			20	ns
t <sub>PLH</sub>	RCK ↑	Q <sub>A</sub> -Q <sub>H</sub>	28	ns
t <sub>PHL</sub>			24	ns
t <sub>PLH</sub>	$\bar{G}$ ↑	Q <sub>A</sub> -Q <sub>H</sub>	40	ns
t <sub>PHL</sub>	$\bar{G}$ ↓	Q <sub>A</sub> -Q <sub>H</sub>	25	ns
t <sub>PHL</sub>	SRCLR ↑	Q <sub>H</sub> '	24	ns

# TRANSFER MULTISORT ELEKTRONIK



Electronics  
Components

90-001 ŁÓDŹ 1, P.O. BOX 224, UL. SIENKIEWICZA 11/13  
TEL: (0-42) 326783, 363807; FAX: (0-42) 326783, 433001  
TLX: 855215, 886622



Electronics  
Components

Oferujemy **20.000** typów podzespołów elektronicznych dla każdego: hobbysty, amatora, naukowca, producenta.

## REWELACYJNE CENY:

CMOS.....	JUŻ OD	1.400zł.
LED.....	JUŻ OD	450zł.
REZYSTOR.....	JUŻ OD	35zł.
TRANZYSTOR (np. BC547).....	JUŻ OD	220zł.
UKŁADY SERWISOWE.....	JUŻ OD	7.000zł.
TRANSFORMATORY Z POWIELACZEM DO TV ZACHODNICH.....	JUŻ OD	150.000zł.

(Ceny przy kursie dolara 11.100 zł.)

Czas dostawy od **2 DNI DO 3 TYGODNI**. Gwarantujemy ciągłość dostaw.

Dla punktów serwisowych proponujemy stałe dostawy.

Dysponujemy katalogiem oferowanych podzespołów, które na prośbę klientów bezpłatnie rozsyłamy.  
Istnieje możliwość sprowadzenia pojedynczych elementów w celu przetestowania lub do prototypów.

## Posiadamy następujące grupy materiałowe:

REZYSTORY	- SERWISOWE	KONWERTERY
POTENCJOMETRY	- LINIOWE	KWARCE
KONDENSATORY	- TTL	MOSTKI
TRANZYSTORY	- CMOS	MIKROPRZŁĄCZNIKI
TYRYSTORY	STABILIZATORY	ŁĄCZNIKI I WYŁĄCZNIKI
TRIaki	WZMACNIACZE	KONEKTORY
DIaki	UKŁADY ZEGAROWE	PRZEWODY I KABLE
DIODY	PODSTAWKI	BUZERY
DIODY ZENERA	POWIELACZE	BEZPIECZNIKI
LEDY	OPTOELEKTRONIKA	TINOL I CYNA
HELITRYNY	NARZĘDZIA	LUTOWNICE
AUTOALARMY	PRZYRZĄDY POMIAROWE	LAMINAT
TRANSFORMATORY	ZABEZPIECZENIA TERMICZNE	OBUDOWY
PILOTY	ŻARÓWKI	OSŁONY ZŁĄCZ
OBUDOWY DO PILOTÓW	WTYKI	WYŚWIETLACZE
BATERIE	ZŁĄCZA	WENTYLATORY
ELEMENTY SERWISOWE	GNIĄZDA	PRZYCISKI I KLAWISZE
UKŁADY SCALONE	DEKODERY	KOSZULKI TERMOKURCZLIWE
- KOMPUTEROWE	TRANSKODERY	ELEMENTY SMD

## U NAS HURT ZACZYNA SIĘ OD JEDNEJ SZTUKI!!!

### Nasi dystrybutorzy lokalni:

KATOWICE ul. Klonowa 41a, tel./fax (0-32) 584-657  
PIOTRKÓW TRYBUNALSKI ul. Buczka 4, tel. (0-44) 79-26

## JEŚLI COŚ POTRZEBUJESZ ZADZWOŃ DO NAS NATYCHMIAST!!!

Poszukujemy dystrybutorów na terenie miast wojewódzkich.  
Wymagane posiadanie lokalu z telefonem, kapitału ok. 10 mln.  
**Udzielamy wysokiej marży.**